

Numero di matricola

|   |   |                  |                 |                  |   |
|---|---|------------------|-----------------|------------------|---|
| - | - | $= 10\alpha - 1$ | $= 10\beta - 1$ | $= 10\gamma - 1$ | - |
|---|---|------------------|-----------------|------------------|---|

Si consideri lo schema di principio di apparato sperimentale riportato in fig.1.

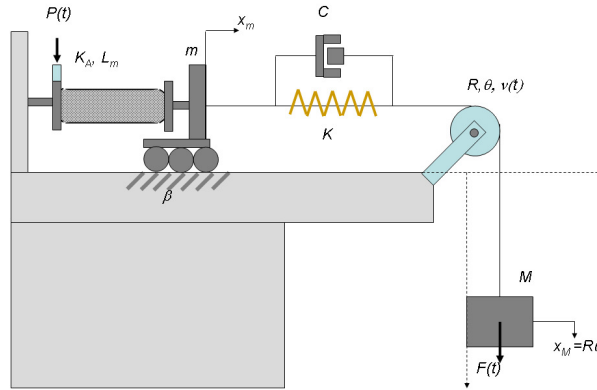


Figure 1: Muscolo Artificiale

Il principale componente dello schema consiste in un attuatore pneumatico nonlineare che tende a contrarsi longitudinalmente all'aumentare del valore della pressione di controllo  $p(t)$ . L'attuatore muove una massa sospesa tramite una trasmissione composta da un carrello mobile e un tendine cedevole. La posizione della massa sospesa viene misurata mediante un potenziometro angolare affetto da rumore di misura  $\nu(t)$ .

Il sistema è descritto dalle seguenti equazioni dinamiche

$$\begin{cases} m\ddot{x}_m = -k(x_m - R\theta) - k_A(x_m^2 - L_m^2)p - \Delta\dot{x}_m \\ MR\ddot{\theta} = F + k(x_m - R\theta) + c(\dot{x}_m - R\dot{\theta}) \end{cases} \quad (1)$$

in cui:  $M = 6\text{kg}$  e  $m = 1\text{kg}$  rappresentano rispettivamente la massa sospesa e la massa del carrello;  $R = 0.05\text{m}$  è il raggio della puleggia alla quale è connesso il potenziometro;  $\Delta = (20 + \alpha)\text{N/m s}$  è il coefficiente di attrito radente tra il carrello e la guida prismatica;  $c = (20 + \beta)\text{Nm s}$  è il coefficiente di attrito viscoso del tendine;  $x_m$  rappresenta la posizione del carrello lungo la guida;  $L_m = 0.5\text{m}$  è la lunghezza minima dell'attuatore pneumatico;  $k_A = 13.3$  è la costante elastica dell'attuatore;  $k = (2000 + 100\gamma)\text{N/m}$  è la costante elastica del tendine;  $\theta$  è la posizione angolare del potenziometro. Si considera quale ingresso di controllo del sistema la pressione  $p(t)$ , mentre  $F(t)$  rappresenta la somma dei contributi della forza peso e disturbi esterni che agiscono sulla massa sospesa.

- A) Trovare il punto di equilibrio del sistema per valori costanti di pressione di controllo  $\bar{p} = 5\text{N/m}^2$  e di forza agente sulla massa sospesa  $\bar{F} = 10\text{N}$ .
- B) Si linearizzi il sistema attorno a tale punto di equilibrio e si determinino le funzioni di trasferimento che legano  $\tilde{\theta}$  con l'ingresso  $\tilde{p}$  e il disturbo  $\tilde{F}$  (con la tilde si indicano i valori delle variabili traslate nell'equilibrio).
- C) Si progetti un controllore che, agendo sulla pressione di controllo  $\tilde{p}$ , garantisca le specifiche seguenti:
- $\tilde{\theta} = 0\text{rad}$  a regime per variazioni a gradino della forza  $\tilde{F}$ ;
  - tempo di assestamento del sistema controllato  $T_a \leq 2.5 \cdot 10^{-2}\text{s}$  e sovraelongazione minore del 10% per ingressi al gradino;
  - sensibilità del sistema in anello aperto alle variazioni del parametro  $k_A$  per segnali costanti attenuata del 95%;
  - riduzione del 90% dell'effetto del rumore di misura sull'uscita a regime per frequenze maggiori di 400Hz.
- Si riportino la funzione di trasferimento del controllore, lo schema a blocchi del sistema di controllo progettato, i diagrammi di Bode asintotici del sistema in anello aperto e i diagrammi di Bode del sistema controllato che verifica le specifiche.
- D) Si scriva l'espressione della pressione in ingresso  $\tilde{p}$  in anello aperto che mantenga  $\tilde{\theta} = 0$  a regime per un disturbo  $\tilde{F} = 10 \sin(200t)$ . Si discuta il procedimento effettuato.

## Soluzione

- A) Si considerino i valori costanti di pressione di controllo  $\bar{p} = 5\text{N/m}^2$  e di forza agente sulla massa sospesa  $\bar{F} = 10\text{N}$ , i punti di equilibrio verificano le equazioni

$$\begin{cases} 0 = -k(\bar{x}_m - R\bar{\theta}) - k_A(\bar{x}_m^2 - L_m^2)\bar{p} \\ 0 = \bar{F} + k(\bar{x}_m - R\bar{\theta}) \end{cases} \quad (2)$$

Sostituendo la seconda equazione nella prima si ottiene

$$0 = \bar{F} - k_A(\bar{x}_m^2 - L_m^2)\bar{p}, \quad (3)$$

da cui segue

$$\bar{x}_m = \sqrt{\frac{\bar{F}}{k_A\bar{p}} + L_m^2}. \quad (4)$$

Infine, dalla seconda equazione si ottiene

$$\bar{\theta} = \frac{\bar{F} + k\bar{x}_m}{kR}.$$

- B) Si considerino le variabili di stato  $[\tilde{x}_m, \tilde{\theta}, \dot{\tilde{x}}_m, \dot{\tilde{\theta}}]$  dove  $\tilde{x}_m = x_m - \bar{x}_m$  e  $\tilde{\theta} = \theta - \bar{\theta}$ , gli ingressi  $\tilde{F} = F - \bar{F}$  e  $\tilde{p} = p - \bar{p}$ . La matrice dinamica del sistema linearizzato calcolato nel punto di equilibrio risulta:

$$A = \begin{pmatrix} 0 & 0 & 1 & 0 \\ 0 & 0 & 0 & 1 \\ -\frac{k+2k_A\bar{x}_m\bar{p}}{m} & \frac{kR}{m} & -\frac{\Delta}{m} & 0 \\ \frac{k}{MR} & -\frac{k}{M} & \frac{c}{MR} & -\frac{c}{M} \end{pmatrix}. \quad (5)$$

La matrice degli ingressi  $(\tilde{F}, \tilde{p})$  è pari a

$$B = \begin{pmatrix} 0 & 0 \\ 0 & 0 \\ -k_A\frac{\bar{x}_m^2 - L_m^2}{m} & 0 \\ 0 & \frac{1}{MR} \end{pmatrix}. \quad (6)$$

Infine l'uscita del sistema è la variabile  $\tilde{\theta}$  e quindi si ha

$$C = (0 \quad 1 \quad 0 \quad 0). \quad (7)$$

Le funzioni di trasferimento richieste risultano quindi

$$G_F(s) = \frac{s^2 m + s\Delta + k + 2k_A\bar{x}_m\bar{p}}{(s^4 m M + (\Delta M + mc)s^3 + (k(m+M) + \Delta c + 2k_A\bar{x}_m\bar{p}M)s^2 + (2ck_A\bar{x}_m\bar{p} + k\Delta)s + 2k_A\bar{x}_m\bar{p}k)R},$$

$$G_p(s) = -\frac{(sc+k)k_A(\bar{x}_m^2 - L_m^2)}{(s^4 m M + (\Delta M + mc)s^3 + (k(m+M) + \Delta c + 2k_A\bar{x}_m\bar{p}M)s^2 + (2ck_A\bar{x}_m\bar{p} + k\Delta)s + 2k_A\bar{x}_m\bar{p}k)R},$$

e

$$\tilde{\Theta}(s) = G_F(s)\tilde{F}(s) + G_p(s)\tilde{P}(s).$$

Sostituendo i valori numerici e considerando  $\alpha = \beta = \gamma = 0$  si ottengono le funzioni di trasferimento

$$G_F(s) = \frac{3.3333(s^2 + 20s + 2084)}{(s^2 + 2.777s + 11.64)(s^2 + 20.56s + 2416)}, \quad G_p(s) = \frac{-133.3333(s + 100)}{(s^2 + 2.777s + 11.64)(s^2 + 20.56s + 2416)}.$$

I diagrammi di Bode delle due funzioni di trasferimento sono riportati nelle figure 2 e 3.

- C) Si faccia riferimento allo schema a blocchi del sistema di controllo rappresentato in figura 4.

**C.1** In anello chiuso la funzione di trasferimento tra  $\tilde{\Theta}$  e la  $\tilde{F}$  risulta essere pari a  $W(s) = \frac{G_F(s)}{1+C(s)G_p(s)}$ . Affinché dato un ingresso a gradino, a regime si abbia  $\lim_{t \rightarrow \infty} \tilde{\theta}(t) = 0$  è necessario che  $\lim_{s \rightarrow 0} sW(s) \frac{1}{s} = 0$ . Considerando che  $G_F$  e  $G_p$  non hanno poli nell'origine, si impone che  $\lim_{s \rightarrow 0} \frac{G_F(0)}{1+C(s)G_p(0)} = 0$ . Questo si verifica se si progetta un controllore di tipo almeno 1:  $C(s) = \frac{\hat{C}(s)}{s}$ .

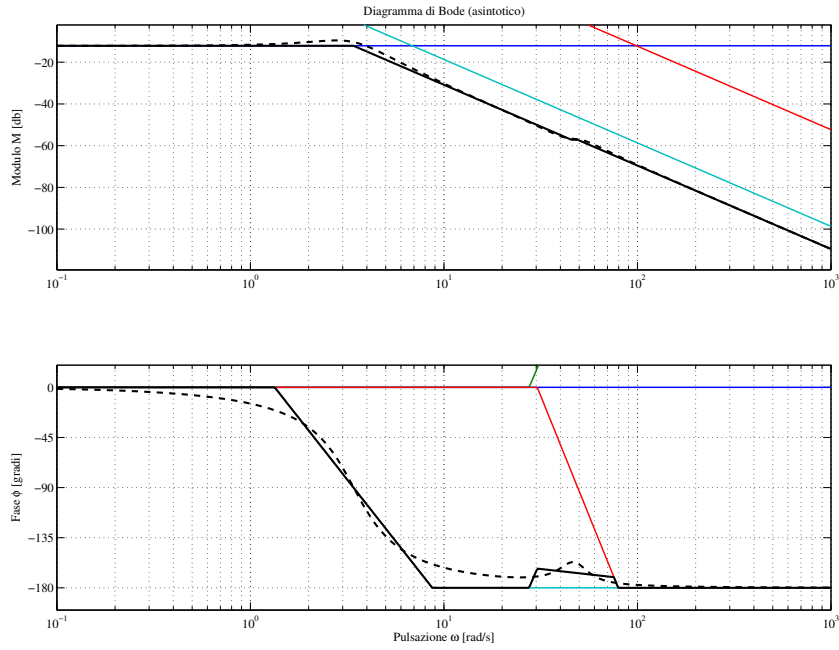


Figure 2: Diagramma di Bode di  $G_F$

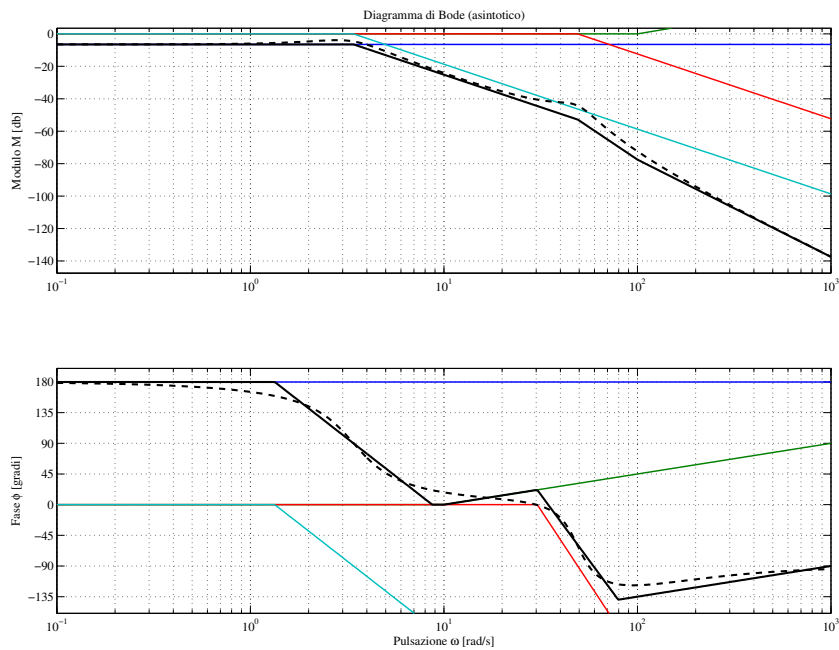


Figure 3: Diagramma di Bode di  $G_p$

**C.2** Si considera ora  $\tilde{F} = 0$  e si progetta il controllore che verifica la specifica precedente e le specifiche richieste nel testo. Si osserva che il segno negativo di  $G_p(0)$  suggerisce l'uso di un controllore con costante di guadagno negativa.

I diagrammi di Bode del sistema in anello aperto con queste scelte sono riportati in figura 5.

La specifica sulla sovralongazione è indicativamente verificata se il sistema in anello chiuso è approssimabile con un sistema del secondo ordine con smorzamento dei poli dominanti pari a circa 0.6 (come si ricava dalla espressione della sovralongazione dei sistemi di secondo ordine  $S = e^{-\frac{\pi\delta}{\sqrt{1-\delta^2}}}$ ). Sul piano di Bode, questo

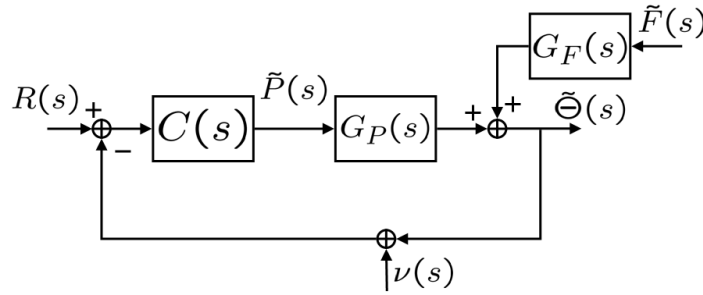


Figure 4: Schema a blocchi del sistema di controllo

significa un margine di fase di 60. La specifica sul tempo di assestamento indicherebbe che la pulsazione naturale dei due poli dominanti deve essere  $\omega_n \geq \frac{3}{\delta T_a} = 205 \text{ rad/sec}$  circa.

La presenza dei quattro poli nella  $G_p$  richiede l'inserimento di più zeri nel controllore per poter garantire la stabilità del sistema.

Si inseriscono ad esempio tre zeri reali in  $-2.5$ ,  $-2.45$  e in  $-2.03$ . Scegliendo una costante di guadagno del controllore pari a  $-20$  si ha che la specifica richiesta è verificata come illustrato in figura 6.

**C.3** La sensibilità del sistema in anello chiuso alle variazioni del parametro  $k_A$  risulta essere pari a  $\frac{1}{1+C(s)G_p(s)}$ , essendoci in  $C$  un polo nell'origine la specifica risulta già verificata.

**C.4** Per frequenze maggiori di circa  $2500 \text{ rad/sec}$  si richiede che  $|CG_p| < 0.1|1 + CG_p|$ . Ad elevate frequenze si ha che  $|1 + CG_p|$  è circa 1 e quindi si richiede che  $|CG_p|_{dB} < -20$ . Con le scelte effettuate questa specifica risulta già verificata, si vanno quindi a scegliere due poli in alta frequenza per rendere il controllore causale. Si scelgono, ad esempio, due poli in  $-2.34 \cdot 10^3$  e in  $-1.09 \cdot 10^5$ . Si aumenta infine la costante di guadagno del controllore a  $-29.9$  in modo tale da avere un maggior margine di fase (circa 68, 5).

Il controllore che verifica le specifiche richieste risulta essere

$$C(s) = -28.8 \frac{(1 + 0.4s)(1 + 0.41s)(1 + 0.49s)}{s(1 + 0.00043s)(1 + 9.2 \cdot 10^{-6}s)}$$

Come illustrato in figura 7 il controllore verifica le specifiche sul diagramma di Bode.

La risposta al gradino del sistema in anello chiuso è riportata in figura 8. Si noti che la sovranelongazione è minore del 10% e il tempo di assestamento è minore di  $2.5 \cdot 10^{-2}$  come richiesto.

**D)** Affinché a regime si abbia  $\tilde{\theta} = 0$  per un disturbo  $\tilde{F}(t) = 10 \sin(200t)$  si deve avere un ingresso  $\tilde{P}(s)$  tale che:

$$\lim_{t \rightarrow \infty} \tilde{\theta}(t) = \lim_{t \rightarrow \infty} \tilde{\theta}_F(t) + \tilde{\theta}_p(t) = \lim_{t \rightarrow \infty} \mathcal{L}^{-1}(\tilde{\Theta}_F(s) + \tilde{\Theta}_p(s)) = 0,$$

dove  $\tilde{\Theta}_F(s) = G_F(s)\tilde{F}(s)$  e  $\tilde{\Theta}_p(s) = G_p(s)\tilde{P}(s)$ . Dal teorema della risposta armonica si ha che  $\tilde{\theta}_F(t)$  a regime risulta essere una sinusoide con ampiezza  $10|G_F(j200)| = 10^{-3}$  (l'ampiezza della  $G_F$  per la pulsazione 200 vale circa  $-80 \text{ dB}$ ) e sfasamento  $\arg(G_F(j200)) = -180^\circ$ . Affinché a regime  $\tilde{\theta}(t) = 0$  si deve avere  $\tilde{\theta}_p(t)$  con la stessa ampiezza e la stessa frequenza ma sfasata di  $\pm 180^\circ$ . Sia  $\tilde{p}(t) = A \sin(200t + \phi)$ , a regime  $\tilde{\theta}_p(t)$  risulta essere una sinusoide con ampiezza  $A|G_p(j200)| = 1.7 \cdot 10^{-5}A$  (l'ampiezza della  $G_p$  per la pulsazione 200 vale  $-95 \text{ dB}$  e quindi  $1.7 \cdot 10^{-5}$ ) e sfasamento  $\arg(G_p(j200)) = \phi - 110^\circ$ . Pertanto la pressione cercata deve essere tale che  $1.7 \cdot 10^{-5}A = 10^{-3}$  e  $\phi - 110^\circ = 0$  da cui  $A = 58.8$  e  $\phi = 110^\circ$ .

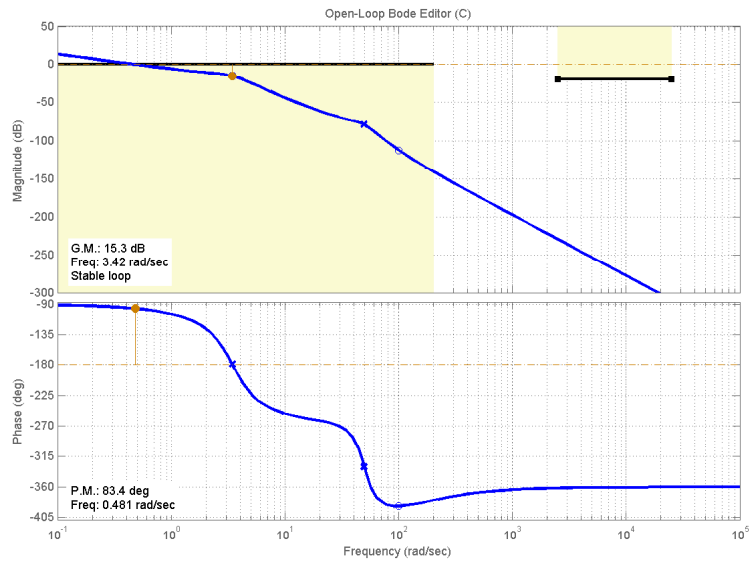


Figure 5: Diagrammi di Bode del sistema in anello aperto una volta inserito nel controllore un polo nell'origine

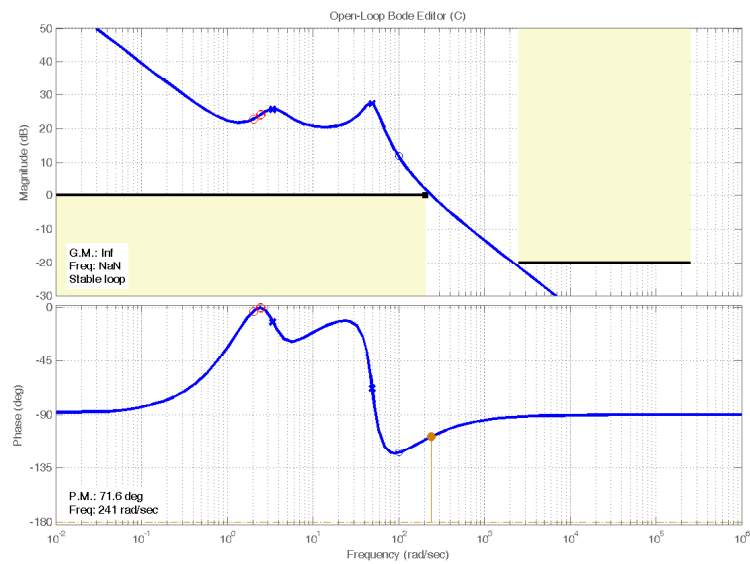


Figure 6: Diagrammi di Bode del sistema in anello aperto una volta inserito nel controllore i tre zeri.

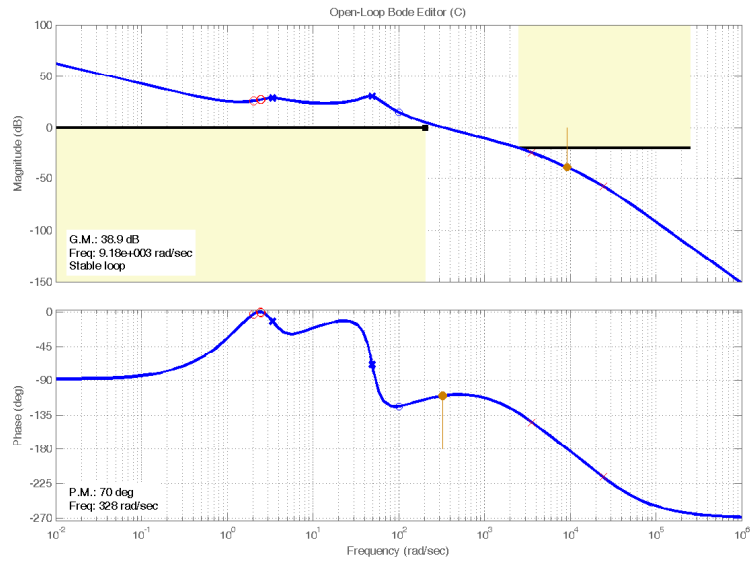


Figure 7: Diagrammi di Bode del sistema in anello aperto con  $C(s)$ .

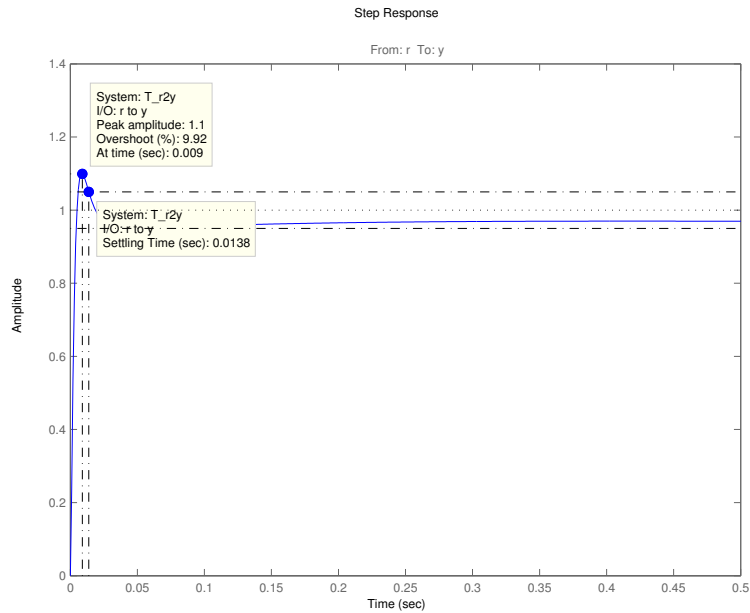


Figure 8: Risposta al gradino del sistema in anello chiuso.